

## دستیابی به کشت سه بعدی سلول‌های استئوبلاست مشتق از کالواریا انسانی در ایران

دکتر عباسعلی ربیعی<sup>\*</sup>، دکتر ابراهیم اسفندیاری<sup>\*\*</sup>، مهرآفرین فشارکی<sup>\*\*\*</sup>،  
معصومه سنایی<sup>\*\*\*\*</sup>، دکتر بهرام امین منصور<sup>\*\*\*\*\*</sup>، دکتر بتول هاشمی بنی<sup>\*</sup>

<sup>\*</sup> استادیار، گروه علوم تشریحی، دانشکده پزشکی، دانشگاه علوم پزشکی اصفهان، اصفهان، ایران.

<sup>\*\*</sup> استاد، گروه علوم تشریحی، دانشکده پزشکی، دانشگاه علوم پزشکی اصفهان، اصفهان، ایران.

<sup>\*\*\*</sup> مری، گروه فیزیولوژی، دانشکده پزشکی، دانشگاه علوم پزشکی اصفهان، اصفهان، ایران.

<sup>\*\*\*\*</sup> مری گروه علوم تشریحی، دانشکده پزشکی، دانشگاه علوم پزشکی جهرم، جهرم، ایران.

<sup>\*\*\*\*\*</sup> استادیار، جراح مغز و اعصاب، دانشکده پزشکی، دانشگاه علوم پزشکی اصفهان، اصفهان، ایران.

تاریخ دریافت: ۸۷/۱۰/۲۵

تاریخ پذیرش: ۸۸/۵/۱

### چکیده

شیوه بالای نقایص استخوانی در بیماران دچار ضربه در تصادفات و بروز کمبود بافت استخوانی در اعمال جراحی کرaniotomی، ضرورت تام و تمام اجرای این پژوهش را نشان می‌دهد. در تحقیق حاضر سلول‌های استئوبلاست به دست آمده از استخوان کالواریا در محیط سه بعدی آلزینات کشت داده شد و میزان تکثیر و زنده ماندن آن‌ها با سلول‌های حاصل از کشت تک لایه‌ای مقایسه گردید.

در جریان اعمال جراحی کرaniotomی ۶ نمونه استخوانی در اندازه‌های  $1 \times 1$  سانتی‌متر از استخوان کالواریا تحت شرایط استریل برداشته و پس از جداسازی بافت‌های همبند و شستشوی مکرر با سرم فیزیولوژی، قطعات استخوانی به ابعاد کوچک در حدود  $1 \times 1$  میلی‌متر خرد شد و در دیش‌های محتوی محیط کشت قرار داده شد و به انکوباتور محتوی ۵ درصد دی اکسید کربن با رطوبت نسبی و دمای  $37^\circ\text{C}$  درجه‌ی سانتی‌گراد منتقل گردید. پس از گذشت ۹ تا ۱۰ روز، سلول‌ها شروع به خروج از استخوان نمودند و ۲ هفته پس از شروع کشت، سلول‌ها کف پلیت را به طور کامل پوشانند. پس از تریپسینه کردن و شمارش، سلول‌ها به طور مساوی به دو بخش تقسیم گردید و کشت تک لایه‌ای و در محیط دارای ژل آلزینات انجام شد. جهت اثبات وجود سلول‌های استئوبلاست و فعالیت آن‌ها از رنگ‌آمیزی‌های Azan و Von kossa، Alkaline phosphatase درصد زنده ماندن سلول‌ها از رنگ‌آمیزی Trypan blue استفاده گردید.

در کشت تک لایه‌ای، سلول‌ها با ظاهری شبه فیبروبلاستی و دوکی مشخص گردید در حالی که در کشت آلزینات، سلول‌ها نمای مدور داشت. در هر دو نوع کشت، تکثیر سلولی و فعالیت استخوان سازی وجود داشت. رنگ‌آمیزی Alkaline phosphatase در گروه وجود سلول‌های استئوبلاست را به اثبات رسانید و رنگ‌آمیزی‌های Azan و Von kossa وجود ماتریکس معدنی وآلی را در گروه تأیید کرد. با مقایسه تعداد سلول‌ها در روز ۲۱ با تعداد سلول‌ها در روز ۱ همان گروه، اختلاف معنی‌داری مشخص شد ( $P < 0.001$ ). همچنین شمارش سلولی دو گروه در روز ۲۱ نشان داد که میزان تکثیر در گروه آلزینات نسبت به گروه تک لایه‌ای بیشتر بوده، اختلاف معنی‌داری مشاهده شد ( $P < 0.001$ ).

این مطالعه نشان داد که سلول‌های استئوبلاستی بدون استفاده از آنزیم در محیط کشت قادر به خروج از بافت استخوانی است و محیط سه بعدی ژل آلزینات سدیم در مقایسه با کشت تک لایه، قادر است تکثیر و بقای این سلول‌ها را به طور بارز افزایش دهد.

استئوبلاست، کشت تک لایه، آلزینات، آلکالین فسفاتاز.

### مقدمه:

### روش‌ها:

### یافته‌ها:

### نتیجه‌گیری:

### واژگان کلیدی:

تعداد صفحات:

تعداد جداول:

تعداد نمودارها:

تعداد منابع:

آدرس نویسنده مسؤول:

دکتر ابراهیم اسفندیاری، استاد، گروه علوم تشریحی، دانشکده پزشکی، دانشگاه علوم پزشکی اصفهان، اصفهان، ایران.  
E-mail: esfandiari@med.mui.ac.ir

**مقدمه**

تاکنون استفاده‌های گوناگونی از آلرژینات شده است. در ۱۹۳۰ از این ماده در صنایع غذایی به عنوان نگهدارنده استفاده شد (۱۵). Lim و همکار و Soon-Shiong و همکاران از آلرژینات برای انتقال سلول‌های غیر اتو لوگ، به بیماران مبتلا به دیابت نوع اول، استفاده نمودند و نشان دادند که این سلول‌ها قادرند بدون برانگیختن سیستم ایمنی، زنده بمانند و انسولین تولید نمایند (۱۶-۱۷). Tomas از آلرژینات به عنوان ماده‌ای در پاسمنان رخمهای جراحی استفاده کرد (۱۸). Cirone و همکاران در سال ۲۰۰۲ از آلرژینات برای انتقال سلول‌هایی که مواد محدود کننده‌ی تومورها را ترشح می‌کند، استفاده کردند. در این مورد ژل آلرژینات از این سلول‌ها در برابر واکنش‌های ایمنی بدن محافظت می‌کند (۱۹).

امروزه محققان موفق به کشت انواع سلول‌ها از قبیل کندروسیت، سلول‌های مغز استخوان، میوبلاست، فیبروپلاست، سلول شوان، سلول‌های کلیه، سلول‌های اپسی‌تیال، هپاتوسیت و استئوپلاست در ژل آلرژینات شده‌اند (۲۰-۲۲).

Kamishina و همکاران در سال ۲۰۰۶ در تحقیقی که بر روی کندروسیت‌های مشتق از غضروف هیالین گریه انجام دادند، رفتار این سلول‌ها را در ژل آلرژینات ارزیابی کردند و نشان دادند که رشد کندروسیت‌ها در آلرژینات به مراتب بیشتر از زمانی است که این سلول‌ها در محیط کشت تک لایه‌ای رشد داده شوند (۲۳).

دکتر اسفندیاری و همکاران (۲۰۰۸) برای اولین بار در ایران به کشت کندروسیت‌های انسانی در ژل آلرژینات پرداختند و نشان دادند که ژل آلرژینات قادر به حفظ حیات این سلول‌ها در آزمایشگاه به مدت ۹ ماه می‌باشد (۲۴). جهت جدا کردن سلول‌های استئوپلاست، از

در دنیای امروز، افزایش روز افزون آمار تصادفات و در پی آن شیوع بالای نقایص استخوانی، مشکلات زیادی را برای بیماران و جراحان ایجاد کرده است؛ چرا که استخوان خرد شده دیگر قادر به ترمیم نخواهد بود و بیمار دچار مشکلات زیادی از قبیل کوتاهی عضو و از بین رفتن زیبایی ظاهری به خصوص در نواحی سر و صورت می‌شود. همچنین مشکل کمبود بافت استخوانی جهت ترمیم در اعمال جراحی کرانیوتومی و نیز در ناهنجاری‌های مادرزادی از قبیل کرانیوسینوستوز خود نمایی می‌کند (۱).

به تازگی برای درمان بیماری‌ها و آسیب‌های بافت استخوانی از روش سلول درمانی (Cell therapy) و مهندسی بافت (Tissue engineering) استفاده می‌شود. بدین منظور سلول‌های دارای توانایی استخوان‌زایی (In vitro Osteogenic cell) را در محیط آزمایشگاه (Osteogenic cell) کشت می‌دهند، سپس آن‌ها را بر روی داربست سه بعدی منتقل کرده، به بیمار پیوند می‌زنند (۲-۸). این روش بر روش‌های متداول ترمیم نقایص بزرگ استخوانی که شامل اتوگراف، آلوگراف و پروتزهای ساختگی است و دارای عیوب فراوان هستند، برتری دارد (۹-۱۰). در روش اخیر، سلول‌ها بر روی داربستی منتقل می‌شوند و سپس آن‌ها را به محل مورد نظر پیوند می‌زنند. دو نوع داربست طبیعی و سنتیک برای این کار وجود دارد. از بین تمام داربست‌های طبیعی و سنتیک، آلرژینات دارای بهترین زیست سازگاری (Biocompatibility)، قابلیت تجزیه شدن (Biodegradability) با سرعت مناسب پس از پیوند و بهترین پایداری (Stability) در بدن موجود زنده می‌باشد (۱۱-۱۴).

کاملاً استریل با ابعاد  $1 \times 1$  سانتی متر توسط جراح جدا و در سرم فیزیولوژی  $0/9$  درصد، به آزمایشگاه کشت سلول گروه علوم تشریحی دانشکده پزشکی اصفهان منتقل گردید.

#### آماده سازی نمونه ها جهت کشت اولیه:

نمونه ها چندین بار توسط سرم فیزیولوژی  $0/9$  درصد شستشو گردید تا خون و بافت های همبند آن تا حد امکان جدا شود. سپس پریوست به صورت مکانیکی به وسیله ای تیغ جراحی جدا و نمونه ها به قطعات  $1$  میلی متری خرد گردید. قطعات استخوانی به پتری دیش های  $10$  سانتی متری محتوی  $10$  میلی لیتر DMEM حاوی FCS  $10$  درصد،  $50$  میکرو گرم در میلی لیتر اسید آسکوربیک،  $10$  میلی مول بتا گلیسرول فسفات،  $100$  واحد در میلی لیتر پنی سیلین،  $50$  میکرو گرم در میلی لیتر استرپتومایسین و  $1$  میکرو گرم در میلی لیتر آمفوتورسین B (کلیه ای مواد از شرکت سیگما آمریکا تهیه گردید) منتقل شد و در شرایط  $5$  درصد دی اکسید کربن با رطوبت نسبی و دمای  $37$  درجه ای گراد کشت داده شد. تعویض محیط کشت بر اساس نیاز و هر دو روز یک مرتبه انجام گردید.

#### کشت تک لایه ای سلول ها:

پس از مهاجرت سلول ها از درون قطعات استخوانی، هنگامی که سطح بستر پتری دیش به طور کامل توسط سلول ها اشغال می گردید، سلول ها با استفاده از مخلوط ترپسین  $0/05$  EDTA درصد از کف پتری دیش جدا و به دو بخش مساوی تقسیم شدند. بخشی از سلول ها جهت کشت تک لایه ای ثانویه به پتری دیش های  $2$  سانتی متری منتقل گردید؛ به گونه ای که هر پتری دیش به طور متوسط محتوی  $10^4$  سلول بود و بخش دیگر به ژل آلثینات، جهت رشد سه بعدی اضافه می شد.

نمونه های استخوانی در تحقیقات مختلف، به طور عموم از استخوان های اسفنجی استفاده شده است. از آن جمله می توان استخوان فک فوقانی انسان ( $25$ )، سر فمور و استخوان ایلیاک انسان ( $26$ )، کالواریای خرگوش ( $5$ )، موش ( $27$ )، موش صحرایی ( $7$ ) و جوجه مرغ ( $28$ ) را نام برد. با توجه به این که در منابع موجود، هیچ مطالعه ای در جهت جداسازی سلول های استئوپلاست از کالواریای انسان انجام نشده است و تهیه قطعات استخوان در حین عمل جراحی کرانیوتومی به راحتی امکان پذیر می باشد؛ به طوری که این قطعات به طور معمول حین عمل جراحی جدا شده، اغلب دور ریخته می شوند، بنابراین در این تحقیق از کالواریای انسان جهت جداسازی سلول های استئوپلاست استفاده شد.

از آن جا که تاکنون در ایران در مورد کشت استئوپلاست ها در آلثینات مطالعه ای انجام نشده است و تعداد سلول مورد نیاز برای ترمیم در ضایعات وسیع استخوانی بسیار زیاد می باشد، بر آن شدیدم که استئوپلاست ها را در آلثینات کشت دهیم و رشد آن ها را مورد بررسی قرار دهیم تا شاید بتوان در یک زمان کوتاه تعداد سلول مورد نیاز جهت ترمیم استخوان را به دست آوردم.

#### روش ها

تعداد  $6$  نمونه استخوان، به صورت تصادفی آسان از بین بیماران مراجعه کننده به بیمارستان الزهراء (س) اصفهان در جریان عمل جراحی کرانیوتومی، جمع آوری شد. نمونه ها از کالواریای افراد مذکور  $20-40$  سال، که به هیچ نوع بیماری استخوانی مبتلا نبودند و سابقه ای بیماری سیستمیک نداشتند، برداشته می شد.

نمونه های استخوانی تحت بیهوشی عمومی و شرایط

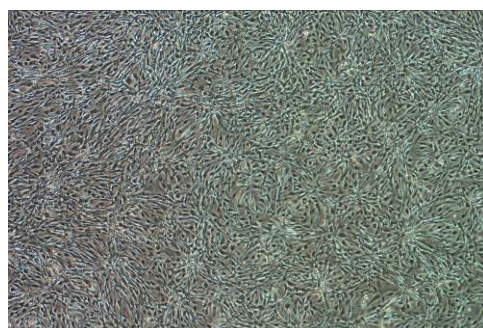
### یافته‌ها

نتایج حاصل از کشت تک لایه‌ای: در کشت اولیه، سلول‌های استئوپلاست پس از گذشت ۹-۱۰ روز شروع به مهاجرت از درون توده‌های استخوانی نموده، به کف پتری دیش‌ها چسیدند. شکل سلول‌ها از فرم دوکی تا فیبروبلاستی متغیر بود (شکل ۱). متوسط زمان پوشش کامل کف پتری دیش‌ها به وسیله‌ی سلول‌ها ۱۴ روز بود.



شکل ۱. مهاجرت سلول‌ها از استخوان. قطعه‌ی استخوان به رنگ تیره در کنار تصویر مشخص است ( $\times 60$ )

در تمام نمونه‌ها سلول‌های تریپسینه شده‌ای که به پتری دیش‌های کوچک ۲ سانتی‌متری، جهت پاساز دوم، انتقال یافته بودند، پس از گذشت یک روز به سطح کشت چسیدند. این سلول‌ها ظاهر فیبروبلاستی خود را تا روز ۲۱ همچنان حفظ نمودند (شکل ۲).



شکل ۲. سلول‌ها در پاساز دوم کشت تک لایه‌ای تا روز ۲۱ ظاهر فیبروبلاستی خود را حفظ نمودند ( $\times 40$ )

### کشت سلول‌ها در آژینات (کشت سه بعدی):

رسوب سلولی حاوی  $5 \times 10^4$  میلی‌لیتر محلول آژینات ۱/۲ درصد مخلوط نمودیم تا در نهایت یک سوسپانسیون همگن و یکنواخت از سلول و آژینات حاصل شود. سپس سوسپانسیون سلول آژینات به آرامی به داخل سرنگی با اندازه‌ی سوزن G ۲۲ متقل و به آرامی به صورت قطره قطره در داخل محلول استریل شده‌ی  $CaCl_2$  (۱۰۲ mM) چکانده شد. بدین ترتیب قطره‌های کروی شکل (Beads) آژینات-سلول تشکیل گردید. دانه‌های آژینات توسط نرمال سالین استریل ۰/۹ درصد و محیط کشت DMEM شستشو داده شد. در نهایت به هر کدام از پتری دیش‌های ۲ سانتی‌متری محتوی نمونه‌ها، ۲ میلی‌لیتر محیط کشت اضافه و به انکوباتور متقل گردید. محیط کشت، هر دو روز یک مرتبه تعویض شد.

### بررسی کشت‌ها:

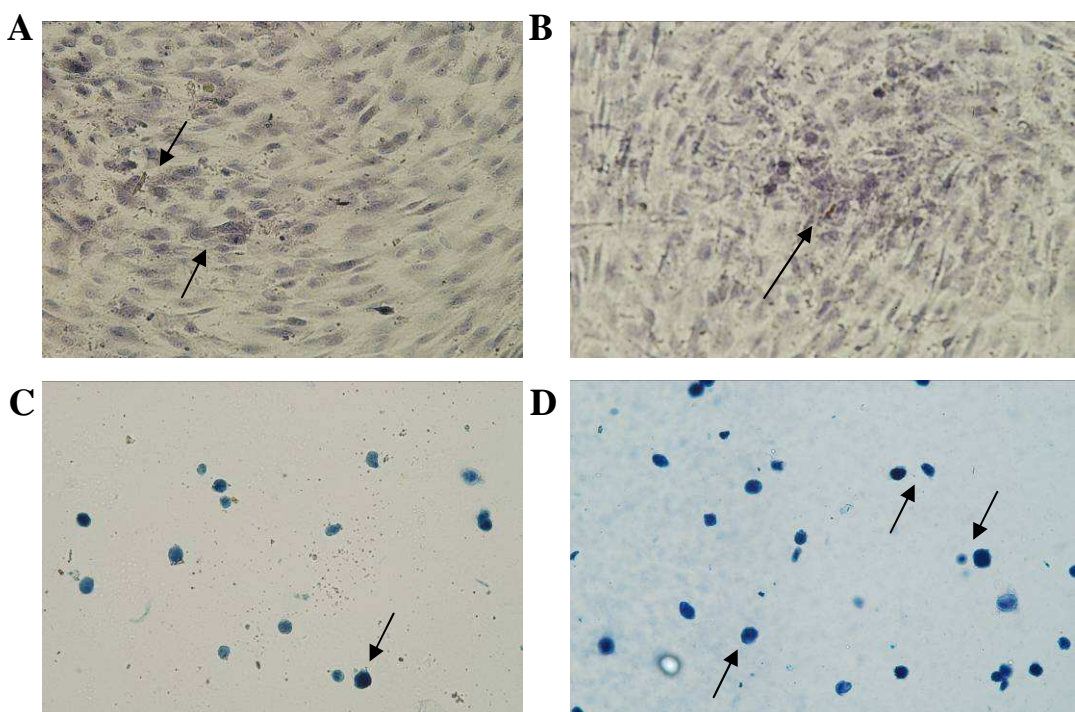
پتری دیش‌های کشت، هر روز با استفاده از میکروسکوپ معکوس از نظر مهاجرت سلول‌ها از درون قطعات استخوانی، رشد سلولی و آلودگی محیط کشت مورد بررسی قرار می‌گرفت.

جهت اثبات وجود سلول‌های استئوپلاست و فعالیت آن‌ها از رنگ آمیزی‌های Von kossa, Alkaline phosphatase و Azan در روزهای ۷، ۱۴ و ۲۱ استفاده و شمارش سلول‌ها با استفاده از لام هموسایتومتر در روزهای ۱۱ و ۲۱ در دو گروه انجام شد. برای بررسی درصد زنده ماندن سلول‌ها از رنگ آمیزی Trypan blue و شمارش سلول‌ها به وسیله لام هموسایتومتر SPSS استفاده گردید. داده‌ها با استفاده از نرم‌افزار Paired-SPSS Inc., Chicago, IL) و روش آماری Independent t-test و sampels t-test مقایسه گردید.

استئوپلاست را به اثبات رساند (شکل ۴) و در روز ۲۱ این رنگ آمیزی بر روی هر دو گروه ناچیز و قابل اغماض بود.

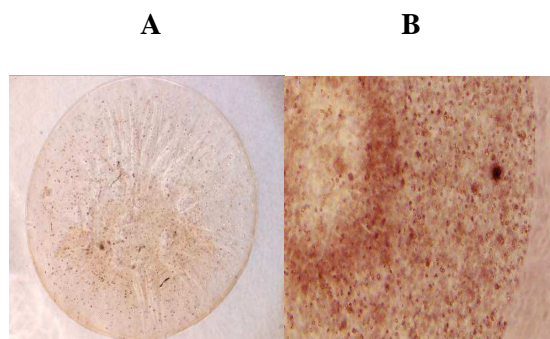
### نتایج حاصل از رنگ آمیزی Von kossa

رنگ آمیزی با Von kossa در روز ۷ و ۱۴ بر روی پاساز سلولی، نشان داد که نواحی معدنی شده در مرکز اجتماعات سلولی تشکیل شده است (شکل ۵A). این رنگ آمیزی در روزهای ۱۴ و ۲۱ نشان داد که تعداد و اندازه‌ی نواحی معدنی شده در کشت‌های ثانویه در حال افزایش است (شکل ۵B). همچنین رنگ آمیزی در روز ۷ بر روی نمونه‌های آژینات، نشان داد که معدنی شدن در ماتریکس خارج سلولی انجام شده است (شکل ۵C). این رنگ آمیزی در روزهای بعد و در نهایت در روز ۲۱ افزایش میزان معدنی شدن ماتریکس را نشان داد (شکل ۵D).



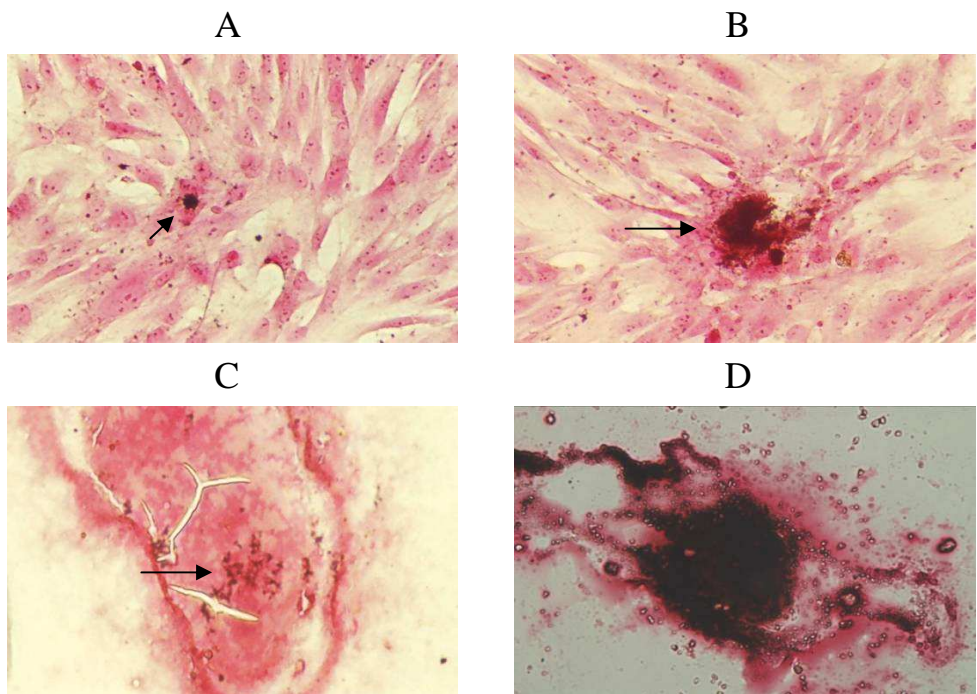
شکل ۴. A و B نمونه‌های رنگ شده با آلکالین فسفاتاز در کشت تک لایه‌ای به ترتیب در روزهای ۷ و ۱۴. پیکانها محل فعالیت آلکالین فسفاتاز را نشان می‌دهد. C و D رنگ آمیزی آلکالین فسفاتاز بر روی نمونه‌ی آژینات به ترتیب در روزهای ۷ و ۱۴، پیکانها سلول‌های آلکالین فسفاتاز مثبت را نشان می‌دهند ( $\times 300$ ).

**نتایج حاصل از کشت سلول‌ها در آژینات:**  
سلول‌ها در ژل آژینات، نمای مدور داشتند (شکل ۳). تکثیر سلولی با بررسی روزانه سلول‌ها قابل مشاهده بود.



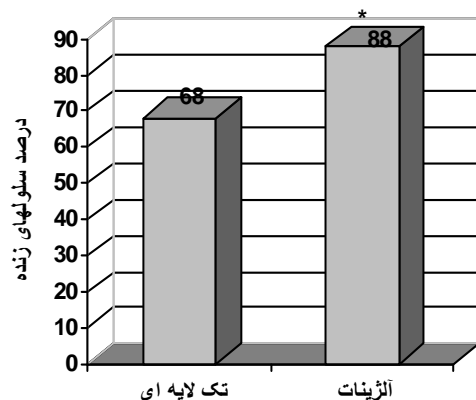
شکل ۳. A: یک قطره ژل آژینات (Bead) دارای سلول‌های استئوپلاست ( $\times 60$ ).  
B: بزرگنمایی بیشتر از قطره ژل آژینات ( $\times 300$ ).

**نتایج حاصل از تست آلکالین فسفاتاز: رنگ آمیزی با آلکالین فسفاتاز در روزهای ۷ و ۱۴ بر روی پاساز سلولی و نمونه‌های آژینات، وجود سلول‌های**



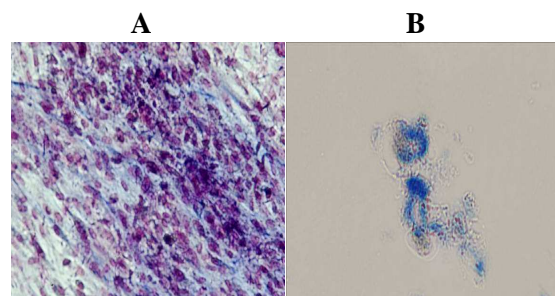
شکل ۵. رنگآمیزی Von kossa در روز ۷ و ۱۴. پیکان‌ها نواحی معدنی شده را نشان می‌دهند.  
A و B نمونی تک لایه‌ای، C و D نمونی آژینات ( $\times 300$ ).

کشت تک لایه‌ای و آژینات در روز ۲۱ نسبت به روز اول همان گروه، اختلاف معنی‌داری را نشان داد ( $P < 0.001$ ). به علاوه، اختلاف میانگین تعداد سلول‌های موجود در کشت تک لایه‌ای و آژینات در روز ۲۱ معنی‌دار بود ( $P < 0.001$ ). (جدول ۱).



نمودار ۱. نتایج حاصل از رنگآمیزی Trypan blue در دو گروه در روز ۲۱. اختلاف درصد سلول‌های زنده بین گروه‌های آژینات و تک لایه‌ای معنی‌دار است ( $P < 0.001$ ) (P).

نتایج حاصل از رنگآمیزی Azan پس از رنگآمیزی سلول‌های حاصل از کشت تک لایه‌ای و همچنین آژینات مشخص گردید که این سلول‌ها در روزهای ۷، ۱۴ و ۲۱ با Azan رنگ می‌گیرند (شکل ۶A,B).



شکل ۶. رنگآمیزی Azan بر روی نمونی تک لایه‌ای (A) و آژینات (B) جهت مشخص نمودن ماتریکس آلی استخوان ( $\times 600$ ).

نتایج حاصل از شمارش سلول‌ها و درصد سلول‌های زنده با استفاده از رنگآمیزی Trypan blue. میانگین تعداد سلول‌های موجود در

جدول ۱. میانگین تعداد سلول‌ها در روزهای ۱ و ۲۱

P-value	میانگین $\pm$ خطای معیار $N = 6$	تعداد سلول‌ها در روز ۱	گروه نک لایه‌ای آژینات	P-value
< ۰/۰۰۱	$1/9 \times 10^6 \pm 2/4 \times 10^5$	$5/9 \times 10^5 \pm 5/8 \times 10^4$		
< ۰/۰۰۱	$3/9 \times 10^6 \pm 3/7 \times 10^5$	$5/9 \times 10^5 \pm 5/8 \times 10^4$		
-	< ۰/۰۰۱	-		

$P < 0/05$  معنی دار محسوب می‌شود.

مدت زمان ۱۰–۱۲ روز گزارش شده است. در مطالعه‌ی حاضر، مدت زمان پوشش کامل کف پتی دیش توسط سلول‌ها به ۱۴ روز رسید. علت این تفاوت‌ها می‌تواند مربوط به اضافه کردن ترکیبات مختلف از قبیل اسید اسکوربیک (۳۰–۳۲)، دگزامتاژون (۳۲–۳۳)، بتا گلیسرول فسفات (۳۲–۳۳) و کلرید کلسیم (۳۲) و با غلظت‌های مختلف به محیط کشت باشد؛ به طوری که در مطالعه‌ی Wiedmann-Al-Ahmad و همکاران از هیچ یک از مواد فوق استفاده نشده است، در حالی که در مطالعه‌ی حاضر از اسید اسکوربیک و بتا گلیسرول فسفات در محیط کشت استفاده شد. از طرف دیگر، باید گفت نوع محیط کشت مصرفی نیز در رشد و تکثیر سلولی تأثیر بسزایی دارد؛ چرا که محیط‌های کشت مختلف، محتوی مواد مغذی متفاوتی هستند و می‌توانند روى رشد و تکثیر سلول‌ها تأثیر گذار باشند. در مطالعه‌ی BGJb van Griensven و همکاران از محیط کشت (۲۶) و در مطالعه‌ی Wiedmann-Al-Ahmad و همکاران از محیط کشت αMEM استفاده شد (۲۵). در مطالعه‌ی Hagewald و همکاران و Blom و همکاران از محیط کشت DMEM استفاده شد. به دلیل این که در اکثر تحقیقات از محیط کشت DMEM استفاده شده است (۳۴–۳۶)، در این مطالعه نیز از DMEM به عنوان محیط کشت پایه استفاده گردید.

در روش رنگ‌آمیزی با Trypan blue در روز ۲۱ در دو گروه کشت، مشخص گردید که میانگین درصد سلول‌های زنده در گروه آژینات به طور معنی‌داری بیشتر از کشت تک لایه‌ای می‌باشد ( $P < 0/001$ ) (نمودار ۱).

## بحث

در این مطالعه‌ی مقدماتی، سلول‌های استئوپلاستی مشتق از کالواریای انسان بدون استفاده از آنزیم خاص از نمونه‌های استخوانی جدا شده، شروع به تکثیر نمودند.

van Griensven و همکاران (۲۰۰۲) با مطالعه‌ی نمونه‌هایی که از سر استخوان فمور و استخوان ایلیاک بیماران تهیه کرده بودند، مدت زمان لازم برای خروج سلول‌ها از بافت استخوانی را ۱۲ روز گزارش کردند (۲۶). این مدت زمان در مطالعه‌ی حاضر به طور متوسط ۹ روز بود که با مطالعه فوق همخوانی دارد. همچنین Wiedmann-Al-Ahmad و همکاران (۲۵) و van Griensven و همکاران (۲۶)، مدت زمانی را که طی آن سلول‌ها کف پتی دیش را به طور کامل می‌پوشانند، ۴–۵ هفته گزارش داده‌اند. اما در دو تحقیق دیگر، که یکی توسط Hagewald و همکاران (۲۷) و دیگری توسط Blom و همکاران (۲۹) انجام شد، این

Von kossa لایه‌ای و آژینات) در روزهای ۷، ۱۴ و ۲۱، افزایش تدریجی در معدنی شدن ماتریکس را نشان داد که این نتیجه با نتایج حاصل از تحقیقات Abbah و همکاران و Li و همکاران همخوانی دارد (۱۲، ۳۸).

Abbah و همکاران در سال ۲۰۰۶ با کشت سلول‌های بنیادی بافت چربی در آژینات و تمایز آن به استئوپلاست نشان دادند که این ژل، محیطی را به وجود می‌آورد که از تکثیر و بقای استئوپلاست‌ها حمایت می‌کند. به علاوه در تحقیق مذکور بین تکثیر سلول‌ها در دو گروه آژینات و تک لایه‌ای در روزهای ۷ و ۱۴ اختلاف معنی‌داری مشاهده نشد؛ در حالی که در روز ۲۱، تعداد سلول‌ها و درصد زنده ماندن آن‌ها در گروه تک لایه‌ای به طور معنی‌داری کاهش یافته بود (۱۲). این پژوهشگر در سال ۲۰۰۸ در تحقیق مقایسه‌ای دیگری، سلول‌های بنیادی حاصل از مغز استخوان را در ژل آژینات کشت و آن را به استئوپلاست تمایز داد و نتایج تحقیقات قبلی خود را در مورد ژل آژینات تأیید کرد (۱۱).

نتایج مطالعه‌ی حاضر نیز نشان داد که سلول‌های استئوپلاست مشتق از بافت استخوان کالواریا که در ژل آژینات رشد نموده بودند، در مقایسه با نمونه‌ی تک لایه‌ای دارای تکثیر بیشتری بوده، درصد سلول‌های زنده در آژینات نسبت به گروه تک لایه‌ای به طور معنی‌داری بیشتر بود. علت این مسئله این است که ژل آژینات، محیطی را فراهم می‌آورد که فعالیت‌های سلولی و متابولیکی در آن بهتر صورت می‌گیرد (۱۱).

### نتیجه گیری

این مطالعه نشان داد که سلول‌های استئوپلاستی بدون

جهت اثبات وجود سلول‌های استئوپلاست در تحقیقات مختلف از تست آلکالین فسفاتاز استفاده شده است (۳۷، ۳۳، ۲۵). به طور معمول از روش‌های آنزیمی، جهت سرعت بخشیدن به امر جداسازی سلول‌ها استفاده می‌شود (۲۶). آنزیمی که به طور معمول مورد استفاده قرار می‌گیرد، کلائزناز I است و مطالعات نشان داده‌اند که استفاده از کلائزناز، جهت جداسازی سلول‌ها از نمونه‌ها، موجب آزاد شدن بیشتر فیبروپلاست‌ها نیز می‌گردد (۲۶).

در این تحقیق، برای آماده سازی نمونه‌ها از هیچ آنزیمی استفاده نشد و بدین‌وسیله سعی گردید احتمال حضور فیبروپلاست‌ها به حداقل رسانیده شود. به علاوه، تست آلکالین فسفاتاز در روز ۷ انجام گرفت و در روزهای ۱۴ و ۲۱ تکرار گردید. نتیجه‌ی این تست در روزهای ۷ و ۱۴ مثبت و در روز ۲۱ منفی بود که با نتایج مطالعه‌ای که توسط Akbari و همکاران در جهت تمایز سلول‌های بنیادی مغز استخوان به استئوپلاست انجام شد، مطابقت داشت (۳۷). فعالیت آلکالین فسفاتاز در روزهای ۷ و ۱۴ نشانه‌ی فعالیت سلول‌های استئوپلاست می‌باشد و عدم وجود فعالیت آلکالین فسفاتاز در روز ۲۱ نشان دهنده‌ی معدنی شدن ماده‌ی بنیادی خارج سلولی و نشانه‌ی تبدیل سلول‌های استئوپلاست به استئوپلاست می‌باشد (۳۷).

در مطالعات مختلف از رنگ‌آمیزی Von kossa جهت اثبات وجود ماتریکس معدنی و از Azan برای اثبات وجود کلائز استفاده شده است (۱۲، ۳۸). به علاوه، نتایج این رنگ‌آمیزی‌ها خود می‌تواند تأییدی بر نتایج تست آلکالین فسفاتاز باشد.

در این مطالعه، نتایج حاصل از رنگ‌آمیزی

### تشکر و قدردانی

مؤلفان مراتب تقدیر و تشکر صمیمانه‌ی خود را از همکاری‌های جناب آقای دکتر مسیح صبوری و جناب آقای دکتر هوشنگ معین، استادان محترم گروه جراحی اعصاب دانشکده‌ی پزشکی که در این تحقیق با ما کمال همکاری را داشتند، ابراز می‌دارند.

استفاده از آنزیم قادر به خروج از بافت استخوانی هستند و هیدروژل آلثینات سدیم به عنوان داربست قادر است از تکثیر و بقای این سلول‌ها حمایت نماید. اما باید توجه داشت که در زمینه‌ی کشت و پیوند سلول‌های استخوانی، نیاز به مطالعات وسیع و گسترده است.

### References

1. Gamradt SC, Lieberman JR. Genetic modification of stem cells to enhance bone repair. *Ann Biomed Eng* 2004; 32(1): 136-47.
2. Kneser U, Schaefer DJ, Polykandriotis E, Horch RE. Tissue engineering of bone: the reconstructive surgeon's point of view. *J Cell Mol Med* 2006; 10(1): 7-19.
3. Schantz JT, Hutmacher DW, Chim H, Ng KW, Lim TC, Teoh SH. Induction of ectopic bone formation by using human periosteal cells in combination with a novel scaffold technology. *Cell Transplant* 2002; 11(2): 125-38.
4. Sakata Y, Ueno T, Kagawa T, Kanou M, Fujii T, Yamachika E, et al. Osteogenic potential of cultured human periosteum-derived cells - a pilot study of human cell transplantation into a rat calvarial defect model. *J Craniomaxillofac Surg* 2006; 34(8): 461-5.
5. Schantz JT, Hutmacher DW, Lam CX, Brinkmann M, Wong KM, Lim TC, et al. Repair of calvarial defects with customised tissue-engineered bone grafts II. Evaluation of cellular efficiency and efficacy in vivo. *Tissue Eng* 2003; 9(Suppl 1): S127-S139.
6. Karp JM, Shoichet MS, Davies JE. Bone formation on two-dimensional poly(DL-lactide-co-glycolide) (PLGA) films and three-dimensional PLGA tissue engineering scaffolds in vitro. *J Biomed Mater Res A* 2003; 64(2): 388-96.
7. Ishaug-Riley SL, Crane-Kruger GM, Yaszemski MJ, Mikos AG. Three-dimensional culture of rat calvarial osteoblasts in porous biodegradable polymers. *Biomaterials* 1998; 19(15): 1405-12.
8. Wang L, Wang Z, Li X, Li DC, Xu SF, Lu BH. Rotating three-dimensional dynamic culture of osteoblasts seeded on segmental scaffolds with controlled internal channel architectures for construction of segmental tissue engineered bone in vitro. *Zhonghua Yi Xue Za Zhi* 2007; 87(3): 200-3.
9. Ciapetti G, Ambrosio L, Savarino L, Granchi D, Cenni E, Baldini N, et al. Osteoblast growth and function in porous poly epsilon -caprolactone matrices for bone repair: a preliminary study. *Biomaterials* 2003; 24(21): 3815-24.
10. Stevens MM, Marini RP, Schaefer D, Aronson J, Langer R, Shastri VP. In vivo engineering of organs: the bone bioreactor. *Proc Natl Acad Sci U S A* 2005; 102(32): 11450-5.
11. Abbah SA, Lu WW, Chan D, Cheung KM, Liu WG, Zhao F, et al. Osteogenic behavior of alginate encapsulated bone marrow stromal cells: an in vitro study. *J Mater Sci Mater Med* 2008; 19(5): 2113-9.
12. Abbah SA, Lu WW, Chan D, Cheung KM, Liu WG, Zhao F, et al. In vitro evaluation of alginate encapsulated adipose-tissue stromal cells for use as injectable bone graft substitute. *Biochem Biophys Res Commun* 2006; 347(1): 185-91.
13. Barralet JE, Wang L, Lawson M, Triffitt JT, Cooper PR, Shelton RM. Comparison of bone marrow cell growth on 2D and 3D alginate hydrogels. *J Mater Sci Mater Med* 2005; 16(6): 515-9.
14. Li Z, Ramay HR, Hauch KD, Xiao D, Zhang M. Chitosan-alginate hybrid scaffolds for bone tissue engineering. *Biomaterials* 2005; 26(18): 3919-28.
15. Walker JM. Methods in Molecular Biology: Proteins. New Jersey: Humana Press Inc; 2002. p. 77-83.
16. Lim F, Sun AM. Microencapsulated islets as bioartificial endocrine pancreas. *Science* 1980; 210(4472): 908-10.
17. Soon-Shiong P, Heintz RE, Merideth N, Yao QX, Yao Z, Zheng T, et al. Insulin independence in a type 1 diabetic patient after encapsulated islet transplantation. *Lancet* 1994; 343(8903): 950-1.
18. Thomas S. Alginate dressings in surgery and wound management--Part 1. *J Wound Care* 2000; 9(2): 56-60.

- 19.** Cirone P, Bourgeois JM, Austin RC, Chang PL. A novel approach to tumor suppression with microencapsulated recombinant cells. *Hum Gene Ther* 2002; 13(10): 1157-66.
- 20.** Shang Q, Wang Z, Liu W, Shi Y, Cui L, Cao Y. Tissue-engineered bone repair of sheep cranial defects with autologous bone marrow stromal cells. *J Craniofac Surg* 2001; 12(6): 586-93.
- 21.** Fragonas E, Valente M, Pozzi-Mucelli M, Toffanin R, Rizzo R, Silvestri F, et al. Articular cartilage repair in rabbits by using suspensions of allogenic chondrocytes in alginate. *Biomaterials* 2000; 21(8): 795-801.
- 22.** Chang SC, Rowley JA, Tobias G, Genes NG, Roy AK, Mooney DJ, et al. Injection molding of chondrocyte/alginate constructs in the shape of facial implants. *J Biomed Mater Res* 2001; 55(4): 503-11.
- 23.** Kamishina H, Miyabayashi T, Clemons RM, Farese JP, Uhl EW. Three-dimensional culture of feline articular chondrocytes in alginate microspheres. *J Vet Med Sci* 2006; 68(11): 1239-42.
- 24.** Esfandiary E, Amirpour N, Fesharaki M, Nasr Esfahani MH, Molavi F, Molavi F, et al. Access to chondrocyte culture, with alginate, in Iran. *Yakhteh Med J* 2008; 10(1): 73-5.
- 25.** Wiedmann-Al-Ahmad M, Gutwald R, Lauer G, Hubner U, Schmelzeisen R. How to optimize seeding and culturing of human osteoblast-like cells on various biomaterials. *Biomaterials* 2002; 23(16): 3319-28.
- 26.** van Griensven M, Zeichen J, Tschernig T, Seekamp A, Pape HC. A modified method to culture human osteoblasts from bone tissue specimens using fibrin glue. *Exp Toxicol Pathol* 2002; 54(1): 25-9.
- 27.** Hagewald S, Pischon N, Jawor P, Bernimoulin JP, Zimmermann B. Effects of enamel matrix derivative on proliferation and differentiation of primary osteoblasts. *Oral Surg Oral Med Oral Pathol Oral Radiol Endod* 2004; 98(2): 243-9.
- 28.** van der PA, Nijweide PJ. Isolation and purification of osteocytes. *J Bone Miner Res* 1992; 7(4): 389-96.
- 29.** Blom EJ, Klein-Nulend J, Klein CP, Kurashina K, van Waas MA, Burger EH. Transforming growth factor-beta1 incorporated during setting in calcium phosphate cement stimulates bone cell differentiation in vitro. *J Biomed Mater Res* 2000; 50(1): 67-74.
- 30.** Declercq H, van den V, De Maeyer E, Verbeeck R, Schacht E, De Ridder L, et al. Isolation, proliferation and differentiation of osteoblastic cells to study cell/biomaterial interactions: comparison of different isolation techniques and source. *Biomaterials* 2004; 25(5): 757-68.
- 31.** Fennis JP, Stoelinga PJ, Jansen JA. Mandibular reconstruction: a histological and histomorphometric study on the use of autogenous scaffolds, particulate cortico-cancellous bone grafts and platelet rich plasma in goats. *Int J Oral Maxillofac Surg* 2004; 33(1): 48-55.
- 32.** Turhani D, Weissenbock M, Watzinger E, Yerit K, Cvikel B, Ewers R, et al. Invitro study of adherent mandibular osteoblast-like cells on carrier materials. *Int J Oral Maxillofac Surg* 2005; 34(5): 543-50.
- 33.** Trojani C, Weiss P, Michiels JF, Vinatier C, Guicheux J, Daculsi G, et al. Three-dimensional culture and differentiation of human osteogenic cells in an injectable hydroxypropylmethylcellulose hydrogel. *Biomaterials* 2005; 26(27):5509-17.
- 34.** Weber M, Steinert A, Jork A, Dimmler A, Thurmer F, Schutze N, et al. Formation of cartilage matrix proteins by BMP-transfected murine mesenchymal stem cells encapsulated in a novel class of alginates. *Biomaterials* 2002; 23(9): 2003-13.
- 35.** Mastrogiacomo M, Papadimitropoulos A, Cedola A, Peyrin F, Giannoni P, Pearce SG, et al. Engineering of bone using bone marrow stromal cells and a silicon-stabilized tricalcium phosphate bioceramic: evidence for a coupling between bone formation and scaffold resorption. *Biomaterials* 2007; 28(7): 1376-84.
- 36.** Kuang WY, Zhou XF, Zhang GS, Liu LH, Chen SF, Li RJ, et al. In vitro expansion of the adult human bone marrow mesenchymal stem cells for clinic application in HSCT. *Zhongguo Shi Yan Xue Ye Xue Za Zhi* 2008; 16(3): 633-8.
- 37.** Akbari M, Nikbakht M, Sobhani A. Expression of alkaline phosphatase during osteogenic differentiation of rat bone marrow stromal cells. *Yakhteh Med J* 2002; 3(11): 131-6.
- 38.** Li Z, Ramay HR, Hauch KD, Xiao D, Zhang M. Chitosan-alginate hybrid scaffolds for bone tissue engineering. *Biomaterials* 2005; 26(18): 3919-28.

Received: 2009.1.14

Accepted: 2009.7.23

**Access to a Three Dimentional Osteoblasts Culture in Iran**

**Abbasali Rabie PhD<sup>\*</sup>, Ebrahim Esfandiari PhD<sup>\*\*</sup>,**  
**Mehrafarin Fesharaki MSc<sup>\*\*\*</sup>, Masoomeh Sanaie MSc<sup>\*\*\*\*</sup>,**  
**Bahram Aminmansur MD<sup>\*\*\*\*\*</sup>, Batool Hashemibeni PhD<sup>\*</sup>**

\* Assistant Professor, Department of Anatomical Sciences, School of Medicine, Isfahan University of Medical Sciences, Isfahan, Iran.

\*\* Professor, Department of Anatomical Sciences, School of Medicine, Isfahan University of Medical Sciences, Isfahan, Iran.

\*\*\* Department of Physiology, School of Medicine, Isfahan University of Medical Sciences, Isfahan, Iran.

\*\*\*\* Department of Anatomical Sciences, School of Medicine, Jahrom University of Medical Sciences, Jahrom, Iran.

\*\*\*\*\* Assistant Professor, Department of Neurosurgery, School of Medicine, Isfahan University of Medical Sciences, Isfahan, Iran.

**Background:**

The problem of bone defects during treatments of bone lesions, especially cranial trauma, and also during craniotomy operations indicates isolation of osteoblasts and culturing them for filling these bone effects.

**Methods:**

Bone tissue specimens were obtained from 6 patients' carvaria undergoing craniotomy surgery operations in Al-zahra teaching hospital and transferred to lab. These specimens were cut into small pieces measuring  $1 \times 1$  mm and put in Petri dishes having culture medium and then transferred to the incubator. The mean interval of observed cellular outgrowth was 9-10 days. After 2 weeks, the cells in cultures reached confluencey. First passage cells were detached from Petri dishes, using Trypsin EDTA, and were divided in two portions. One portion was used for monolayer osteoblast culture, and the other, was added to alginate gel. The activity of these cells was tested by Alkaline phosphatase, Von kossa and Azan staining. Cell viability was also tested by Trypan blue staining. The morphology of osteoblasts in monolayer cultures appeared fusiform and fibroblastic, while in the alginate beads, cells appearance was round. Alkaline phosphatase staining method confirmed the presence of osteoblasts. Von kossa and Azan staining demonstrated, mineralized and organised matrix in both groups. The number of harvested cells in day 1 and day 21 were significantly different in each group ( $P < 0.001$ ). In addition, there was significant difference in the mean of cells number and viability between monolayer cultures and alginate beads in day 21 ( $P < 0.001$ ).

**Findings:**

This study showed that osteoblasts can come out from bones in dish culture without using any enzyme; and sodium Alginate gel supports cell viability and proliferation of osteoblasts cells significantly in comparison with the monolayer culture.

**Conclusion:**

This study showed that osteoblasts can come out from bones in dish culture without using any enzyme; and sodium Alginate gel supports cell viability and proliferation of osteoblasts cells significantly in comparison with the monolayer culture.

**Key words:**

**Osteoblast, Monolayer culture, Alginate, Alkaline phosphatase.**

**Page count:**

11

**Tables:**

1

**Figures:**

7

**References:**

38

**Address of Correspondence:**

Ebrahim Esfandiari PhD, Professor, Department of Anatomical Sciences, School of Medicine, Isfahan University of Medical Sciences, Isfahan, Iran  
E-mail: esfandiari@med.mui.ac.ir